

HAUTE ÉCOLE D'INGÉNIERIE ET DE GESTION DU  
CANTON DE VAUD



GESTION DE PROJET DE MACHINE LEARNING

GML

---

## Crapauduc - 2022

---

*Authors:*

Schaller JORIS

D'Ancona OLIVIER

Logan VICTORIA

Akoumba ERICA LUDIVINE

Wichoud NICOLAS

December 19, 2022

# Contents

<b>1</b>	<b>Introduction</b>	<b>1</b>
<b>2</b>	<b>Context</b>	<b>2</b>
2.1	Location . . . . .	2
2.2	Cameras . . . . .	2
<b>3</b>	<b>Data preparation</b>	<b>3</b>
3.1	Acquisition des données . . . . .	3
3.2	Stockage des Données . . . . .	3
<b>4</b>	<b>Filtrage</b>	<b>5</b>
4.1	Analyse de la météo . . . . .	5
4.2	Analyse du nombre d'animaux . . . . .	5
4.3	Détecteur de planches . . . . .	5
<b>5</b>	<b>Models</b>	<b>7</b>
5.1	Model1 . . . . .	7
5.1.1	Training . . . . .	7
5.2	Model2 . . . . .	7
5.2.1	Training . . . . .	7
<b>6</b>	<b>Evaluation</b>	<b>8</b>
6.1	Section1 . . . . .	8
6.1.1	Features . . . . .	8
<b>7</b>	<b>Deployment</b>	<b>9</b>
7.1	Section1 . . . . .	9
7.1.1	Features . . . . .	9
<b>8</b>	<b>Conclusion</b>	<b>10</b>

# Chapter 1

## Introduction

Ceci est un acronyme k-nearest neighbor

## Chapter 2

# Context

### 2.1 Location

### 2.2 Cameras

Ceci est un acronyme k-nearest neighbor

## Chapter 3

# Data preparation

### 3.1 Acquisition des données

**Problème** Lors de ce projet, les données doivent être accessibles à tous les membres et doivent être stockées de manière uniformisée pour faciliter le travail de groupe. Nous avons alors opté pour une structure regroupant les images par caméra et le nom de fichier correspondant est la date ISO standardisée de la date de la prise du fichier.

**Source** Nous avons récupéré un disque dur comprenant les 500GB dans le bureau de nos professeurs. La structure de fichier était partitionnée par caméra, année, jour, heure, minute. Cette structure était pratique pour naviguer dans les dossiers mais posait un problème pour extraire les informations car les métadonnées étaient stockées dans le path du fichier et non dans un fichier .csv externe. La nouvelle structure partitionnée par caméra permet d’avoir toutes les images regroupées et ainsi d’avoir les métadonnées au même endroit. Nous avons ainsi écrit des scripts de transformations que l’on peut trouver dans le repository utils sur github.

**Format** Les images sont au format JPEG.

**Numéro de séquence** Une information qui n’était pas présente originellement était le numéro de séquence des images. Lorsque la caméra détectait un mouvement continu, la même action pouvait résulter sur plusieurs images différentes. Nous avons donc considéré une séquence valide si sur la même caméra, les images sont prise à la suite dans un interval de temps inférieur à 2 secondes. Ce numéro est ainsi ajouté aux métadonnées et permet de réaliser des analyses plus approfondies.

### 3.2 Stockage des Données

Afin de stocker les données, nous utilisons deux espaces de stockage différents. Premièrement, nous utilisons le serveur atlas mis à disposition pour stocker les images brutes. Deuxièmement, nous utilisons Google Drive pour stocker les subsets d’images traitées. De cette manière, nous avons une source de donnée fiable et pouvons ainsi tous travailler en parallèle avec les mêmes données uniformisées.

**Datalake** Les données désarborisées ainsi que les données originales sont stockées sur le serveur atlas dans le dossier `/home/crapauduc/data/`. Ce dossier est accessible à tous les membres du groupe. Les images sont stockées dans des dossiers par caméra et le nom de fichier est la date ISO standardisée de la date de la prise du fichier.

**Subsets** Les subsets sont stockés dans le Google Drive et peuvent être utilisé pour tester//entraîner différents algorithmes

## Chapter 4

# Filtrage

**Idée générale** Le but de ce chapitre est de décrire les différentes méthodes de filtrage utilisées pour améliorer la qualité des données.

**Problème** Le dataset original est composé de 18 caméras regroupant plus de 800'000 images. Une bonne partie de ces images sont des faux positifs. Il est donc nécessaire de filtrer les images afin de ne garder que les images qui nous intéressent. Une première observation nous fait remarquer que les images uniquement constituées de feuilles n'ont jamais d'animaux. Ensuite, une deuxième lecture nous fait remarquer que les animaux se déplacent plus facilement par temps humide. Et finalement, nous constatons que les animaux sont nombreux certains jours. À partir de ces observations, nous avons élaboré 3 méthodes pour filtrer les images et ainsi augmenter notre probabilité de trouver des animaux pour constituer de nouveaux labels ou constituer un dataset de validation. Ces méthodes sont décrites dans les sections suivantes.

### 4.1 Analyse de la météo

### 4.2 Analyse du nombre d'animaux

### 4.3 Détecteur de planches

Nous avons développé un réseau de neurones convolutif à l'aide de la librairie PyTorch. Ce classificateur binaire, prédit ou non la présence de planche.

**Dataset d'entraînement** Nous avons extrait 600 images d'une même caméra et labellisé 359 non planches et 241 planches. Ensuite, nous avons développé un dataloader permettant d'intégrer nos labels et de charger des batchs de données directement dans la librairie PyTorch. Celui ci, utilise un pipeline d'entrée qui applique plusieurs transformations à l'image avant de pouvoir l'utiliser comme un tenseur.

**Architecture du Détecteur** Le détecteur est simplement constitué de 3 couches convolutives suivi de 2 couches entièrement connectées. Les channels d'entrée et de sortie des couches convolutives est de : 3 - 32, 32 - 64, 64 - 128. Le nombre de neurones des couches fully connected sont de 128 et 1 pour le neurone de sortie. La fonction de coût utilisé est

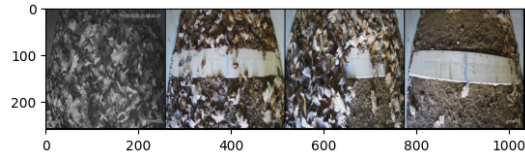


Figure 4.1: Exemple de données d'entraînement

la BCELoss et l'optimiseur est Adam. Le réseau est entraîné pendant 10 epochs avec un learning rate de 0.001 et un momentum de 0.9 sur 3 epochs.

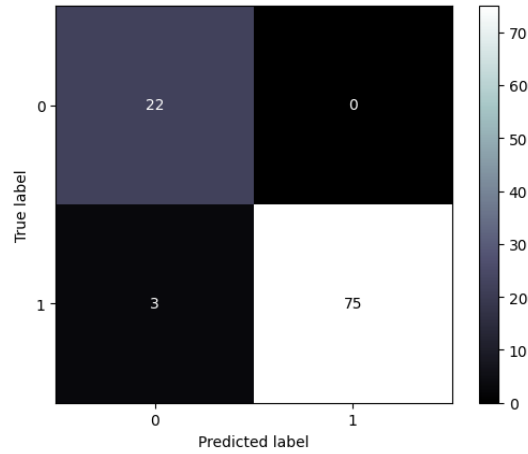


Figure 4.2: Matrice de confusion du détecteur de planche

**Résultats** Le détecteur de planche a une précision de 1 et un recall de 0.98 sur la détection de planche. En revanche, la précision sur la détection de non planche est de 0.88 et un recall de 1. Ce qui veut dire que notre filtre est un peu trop efficace et a tendance à se tromper pour détecter les images sans planche. Comme les résultats sont satisfaisant pour dégrossir le travail, nous n'avons pas passé de temps supplémentaire à optimiser le réseau afin qu'il sépare mieux les images dotés d'une planche ou non. Comme, nous traitons une grande quantité de données, l'erreur est acceptable. Lancé sur la quasi intégralité du dataset, le filtre a tourné pendant plus de 10h sur un ordinateur de bureau doté d'un processeur Ryzen9500X. Au final, le filtre a détecté 48910 images de non planches sur les 754543 images analysées.



# Chapter 5

## Models

### 5.1 Model1

description

#### 5.1.1 Training

### 5.2 Model2

description

#### 5.2.1 Training

## Chapter 6

# Evaluation

### 6.1 Section1

paragraph1

#### 6.1.1 Features

Ceci est un acronyme k-nearest neighbor

## Chapter 7

# Deployment

### 7.1 Section1

paragraph1

#### 7.1.1 Features

## Chapter 8

# Conclusion

Ceci est un acronyme k-nearest neighbor